

小型計算機を用いた中等厚板の解析

大阪工業大学 ○ ヒルト
 (中国内蒙古建築設計院 何其國)
 大阪工業大学 正員 岡村 宏一
 大阪市立大学 正員 園田 恵一郎
 大阪市立大学 正員 堀川 郡志雄

1. はじめに： 近年、土木構造においても、支間長に比べて厚めのある板の挙動や、局部荷重下での応力算定の問題が議論されるようになつた。元来、この種の問題を「平面保持の仮定」に基づく薄板理論を用いて解析することには疑問があり、厳密には3次元解析によるのが望ましい。しかし3次元解析を実際の構造物に適用するには解析上の制約が厳しくなる難点がある。このような問題に対して3つの方法として、種々の境界条件に対応できる薄板理論の汎用性と、たわみや変形の3次元挙動を近似的に表現し得る性質を相補的に保有する中等厚板理論を考えることができる。中等厚板については、Love, Reissner, Krummらを始めとする多くの研究が見られるが、計算例の段階では、特定の荷重の場合や、2重級数を用いる方法に限られている感がある。

一方、小型計算機の構造解析分野での利用も増大しつつあり、板の解析への活用も十分見込まれるが、上述のように問題を解析する場合、いかにして計算時間を短縮するかが1つの課題となる。そこで解析上、明らかに複重級数よりも単級数の解を用いるのが有利である。これまで中等厚板は単級数による解を用いた例として、等方性板については V.L. Salerno らのもの、直交異方性板については S.A. Ambartsumyan のものがあるが、いずれも等分布満載荷重の場合に限られており、部分荷重や集中荷重の場合は扱っていない。

以上の観点を踏まえ、本研究では主に、次の諸点についての検討を行なう。

(1) 等方性中等厚板の曲げと引張り問題にありる補助関数を基礎にして、たわみや断面力を単級数で表わし、総和公式を併用して部分荷重に対する代数式で表わされた解(閉じた解)を誘導する。(2) 相対2辺単純支持の無限板に部分荷重が作用する問題を例として上記の解を吟味する。(3) 相対2辺単純支持、他の2辺が種々の境界条件を有する中等厚板を解析し、また、局部荷重下での応力分布についても吟味する。

2. 等方性中等厚板の単級数表示と代数解

板の中央面にx-y座標軸をおき、それと重直下向むい3軸をとる(図1)。

鉛直荷重 q_z が作用する場合の曲げおよび引張り問題の補助関数の基礎式は次のようになる。

$$\theta \Delta (1 - \frac{h^2}{10} \Delta) \bar{\Psi}_j = -X_j \quad (j=1, 2)$$

$$\theta \Delta \Phi_3 = -X_3, \quad (1 - \frac{h^2}{10} \Delta) \Phi_3 = 0 \quad (1)$$

$$h^2 \frac{1-v}{2} \Delta \bar{\Psi}_j = -Y_j \quad (j=1, 2) \quad (2)$$

$$\varepsilon = \tau', \quad D = Eh^3/(1-v^2), \quad H = Eh/(1-v^2), \quad \Delta = \partial_x^2 + \partial_y^2, \quad \partial_x = \partial/\partial x, \quad \partial_y = \partial/\partial y, \quad \partial_x^2 = \partial^2/\partial x^2, \quad \partial_y^2 = \partial^2/\partial y^2,$$

$$X_1 = \frac{h^2}{10} \frac{v}{1-v} \partial_x q_z, \quad X_2 = \frac{h^2}{10} \frac{v}{1-v} \partial_y q_z, \quad X_3 = -q_z, \quad Y_1 = -\frac{h}{2} \frac{v}{1-v} \partial_x q_z, \quad Y_2 = -\frac{h}{2} \frac{v}{1-v} \partial_y q_z.$$

たわみ W 、せん断力 Q_x, Q_y と補助関数 $\bar{\Psi}_j$ ($j=1, 2$)、 Φ_3 、 $\bar{\Psi}_3$ との関係式は次のようになります。

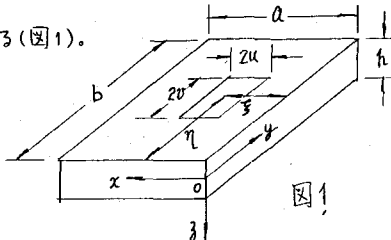
$$W = (\frac{h^2}{10} \Delta - 1)(\partial_x \bar{\Psi}_1 + \partial_y \bar{\Psi}_2) - (\frac{h^2}{5} \frac{1}{1-v} \Delta - 1) \Phi_3, \quad Q_x = -D \Delta (\partial_y \bar{\Psi}_1 - \partial_x \bar{\Psi}_2) - D \partial_x \Delta \Phi_3 + \partial_y \bar{\Psi}_3,$$

$$Q_y = -D \Delta (-\partial_x \bar{\Psi}_1 + \partial_y \bar{\Psi}_2) - D \partial_y \Delta \Phi_3 - \partial_x \bar{\Psi}_3 \quad (3)$$

板の中央面での水平変位 U_0, U_1 、Y関数 $\bar{\Psi}_j$ ($j=1, 2$) との関係式は以下に示される。

$$U_0 = H(\partial_x^2 + \frac{1-v}{2} \partial_y^2) \bar{\Psi}_1 - H \cdot \frac{1+v}{2} \partial_x \partial_y \bar{\Psi}_2, \quad U_1 = -H \frac{1+v}{2} \partial_x \bar{\Psi}_1 + H(\frac{1-v}{2} \partial_x^2 + \partial_y^2) \bar{\Psi}_2 \quad (4)$$

今、单級数表示をx方向にとれば、式(1)～(4)でのyに関する微分項が削除される。最終的に、曲げ問題でのたわみとせん断力は次のように得られる。



$$W = \sum_m \bar{W} \alpha_m^4 \sin mx$$

$$Q_x = \sum_m \bar{Q}_x \alpha_m^5 \cos mx$$

(5)

ここで、 $\alpha_m = m\pi/a$, a : x 方向の支間長,

$$\bar{W} = \frac{1}{D} \frac{\bar{q}}{\alpha_m^2} + \frac{1}{D} \left[\frac{h^2}{5(1-\nu)} - \frac{vh^2}{10(1-\nu)} \right] \frac{\bar{q}}{\alpha_m^2}, \quad \bar{Q}_x = \frac{\bar{q}}{\alpha_m}, \quad \bar{q} = \frac{4q}{a} \sin \alpha_m u \sin \alpha_m \xi,$$

q : 荷重強度, u : x 方向の荷重幅, ξ : x 方向の荷重中心位置

さらに、式(5)に表1で与えられる総和公式を適用すれば、たわみ W の代数解は 3つの区間 $0 \leq x \leq \xi - u$, $\xi - u \leq x \leq \xi + u$, $\xi + u \leq x \leq a$ で区分される。

例を成す, $0 \leq x \leq \xi - u$ では

$$W = \frac{q a^4}{3 D} \left[\left(\frac{2 \xi u}{a^2} - \frac{3 \xi u}{a^3} - \frac{u^3}{a^3} + \frac{3 u^3}{a^4} + \frac{3 u^3}{a^5} \right) \frac{x}{a} - \left(\frac{u}{a} - \frac{3 u}{a^2} \right) \frac{x^3}{a^3} \right] + \frac{2 q a^2}{D} \frac{h^2}{5(1-\nu)} \left(\frac{u}{a} - \frac{3 u}{a^2} \right) \frac{x}{a} - \frac{2 q a^2}{D} \frac{vh^2}{10(1-\nu)} \left(\frac{u}{a} - \frac{3 u}{a^2} \right) \frac{x}{a} \quad (6)$$

表1 総和公式
$\sum_m \frac{1}{m} \sin mx = \frac{x}{720} (8\pi^4 - 20\pi^2 x^2 + 15\pi x^3 - 3x^4)$
$\sum_m \frac{1}{m} \sin mx = \frac{x}{12} (x^2 - 3\pi x + 2\pi^2)$

明らかに第1項は平面保持条件による解であり、第2及び3項はせん断力による影響項と直応力による項を示している。第2項までの和は静的問題での Timoshenko beam の解に相当している。

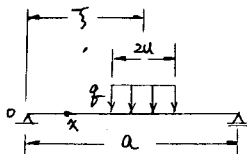
次に、せん断力 Q_x も同様にして $0 \leq x \leq \xi - u$ の区間で

$$Q_x = 2 \bar{q} a \left(\frac{u}{a} - \frac{3 u}{a^2} \right) \quad (7)$$

他の区間につれての結果を表2にまとめた。また、引張り問題についても同様にして得られ、その結果を表2に併記した。

他の荷重状態すなわち等分布満載荷重の場合には $u = \xi = a/2$ と置換し、また集中荷重については $q = P/2u$ ときらに $u \rightarrow 0$ の極限を探れば、表2より容易に解が得られる。

表2 たわみ、せん断力、水平変位の代数解

範囲	部分荷重	範囲	等分布荷重
$0 \leq x \leq \xi - u$	$W = \frac{q a^4}{3 D} \left[\left(\frac{2 \xi u}{a^2} - \frac{3 \xi u}{a^3} - \frac{u^3}{a^3} + \frac{3 u^3}{a^4} + \frac{3 u^3}{a^5} \right) \frac{x}{a} - \left(\frac{u}{a} - \frac{3 u}{a^2} \right) \frac{x^3}{a^3} \right] + \frac{2 q a^2}{D} \frac{2 h^2}{5(1-\nu)} \left(\frac{u}{a} - \frac{3 u}{a^2} \right) \frac{x}{a} - \frac{q a^2}{D} \frac{vh^2}{10(1-\nu)} \left(\frac{u}{a} - \frac{3 u}{a^2} \right) \frac{x}{a}$ $Q_x = 2 \bar{q} a \left(\frac{u}{a} - \frac{3 u}{a^2} \right)$ $U_0 = - \frac{q a}{H} \frac{vh}{1-\nu} \left(\frac{u}{a} - \frac{3 u}{a^2} \right)$		$W = \frac{q a^4}{24 D} \left(\frac{x^4}{a^4} - 2 \frac{x^3}{a^3} + \frac{x}{a} \right)$ $+ \frac{q a^2}{D} \frac{h^2}{10(1-\nu)} \left(\frac{x}{a} - \frac{x^3}{a^3} \right)$ $- \frac{q a^2}{D} \frac{vh^2}{20(1-\nu)} \left(\frac{x}{a} - \frac{x^3}{a^3} \right)$ $Q_x = \frac{q a}{2} \left(1 - \frac{x}{a} \right)$ $U_0 = - \frac{q a}{H} \frac{vh}{2(1-\nu)} \left(1 - \frac{x}{a} \right)$
$\xi - u \leq x \leq \xi + u$	$W = \frac{q a^4}{24 D} \left[\left(\frac{\xi - u}{a} \right)^4 - 4 \left\{ \frac{4 \xi u}{a^2} - \left(\frac{\xi + u}{a} \right)^3 + \frac{2 \xi u}{a^4} + \frac{2 \xi u^3}{a^4} \right\} \frac{x}{a} + 6 \left(\frac{\xi - u}{a} \right)^2 \frac{x^2}{a^2} - 4 \left(\frac{\xi + u}{a} - \frac{2 \xi u}{a^2} \right) \frac{x^3}{a^3} + \frac{x^4}{a^4} \right]$ $+ \frac{q a^2}{D} \frac{h^2}{10(1-\nu)} \left[\left(\frac{\xi - u}{a} \right)^2 + 2 \left(\frac{\xi + u}{a} - \frac{2 \xi u}{a^2} \right) \frac{x}{a} - \frac{x^3}{a^3} \right]$ $- \frac{q a^2}{D} \frac{vh^2}{20(1-\nu)} \left[\left(\frac{\xi - u}{a} \right)^2 + 2 \left(\frac{\xi + u}{a} - \frac{2 \xi u}{a^2} \right) \frac{x}{a} - \frac{x^3}{a^3} \right]$ $Q_x = \bar{q} a \left(\frac{\xi - u}{a} - \frac{2 \xi u}{a^2} - \frac{x}{a} \right)$ $U_0 = - \frac{q a}{H} \frac{vh}{2(1-\nu)} \left(\frac{\xi - u}{a} - \frac{2 \xi u}{a^2} - \frac{x}{a} \right)$		
$\xi + u \leq x \leq a$	$W = \frac{q a^4}{3 D} \left[\left(\frac{2 \xi u}{a^2} + \frac{3 \xi u}{a^3} \right) + \left(\frac{2 \xi u}{a^2} + \frac{3 u^3}{a^4} + \frac{3 u^3}{a^5} \right) \frac{x}{a} - 3 \frac{\xi u}{a^2} \frac{x^2}{a^2} + \frac{3 u}{a^2} \frac{x^3}{a^3} \right]$ $+ \frac{2 q a^2}{D} \frac{2 h^2}{5(1-\nu)} \frac{x}{a^2} \left(1 - \frac{x}{a} \right) - \frac{q a^2}{D} \frac{vh^2}{10(1-\nu)} \frac{x}{a} \left(1 - \frac{x}{a} \right)$ $Q_x = - 2 \bar{q} a \frac{\xi u}{a^2}$ $U_0 = \frac{q a}{H} \frac{vh}{1-\nu} \frac{\xi u}{a^2}$		$D: 曲げ剛性 (= \frac{Eh^3}{12(1-\nu^2)})$ $H: 延び剛性 (= \frac{Eh}{1-\nu^2})$

式(5)の解を特解とすれば、 $y = 0, b$ での境界条件を満足せしめの固有解は式(1)より得られる。

$$\begin{aligned}\Phi_3 &= \sum_m [A_m \sin k_m y + B_m \cosh k_m y + C_m \sinh k_m y + D_m \cosh k_m y] \sin k_m x \\ \bar{\Phi}_3 &= \sum_m [E_m \sinh k_m y + F_m \cosh k_m y] \cos k_m x \\ \Psi_1 &= \sum_m [G_m \sinh k_m y + H_m \cosh k_m y + I_m \sinh k_m y + J_m \cosh k_m y] \cos k_m x\end{aligned} \quad (8)$$

ここで $\sinh k_m y = \cosh k_m y$, $\sinh k_m y = \sinh k_m y$, $k_m^2 = k_m^2 + 10/h^2$

$A_m, B_m, \dots, I_m, J_m$ は $y=0, b$ の境界条件により決定される未定定数である。

中等厚板の一般解は、式(5)と(8)を重ね合せることによって得られる。

3. 中等厚板の境界条件

境界条件は薄板理論での Kirchhoff の条件と異なり、3 つの物理量で規定される Poisson 型の条件で与えられる。今、 $x=0, a$ の辺を例とすれば、次のように示される。

・単純支持 $W = M_x = Q_y = 0, \quad D_0 = N_x = 0$

・固定 $W = Q_x = Q_y = 0, \quad U_0 = V_0 = 0$

・自由 $M_x = M_{xy} = Q_x = 0, \quad N_x = N_{xy} = 0$ — (9)

ここで

$$Q_y = \frac{12}{h^3} \int_{-h/2}^{h/2} U_3 dz, \quad Q_x = \frac{12}{h^3} \int_{-h/2}^{h/2} V_3 dz$$

$U, V: x, y$ 方向の水平変位

4. 中等厚板の応力法

$y_i = 0, b_i$ で力が規定される曲げ問題の場合を考えてみる(図2)

式(9)で示される 10 つの未定定数のうち 6 つは A_m, \dots, F_m はそれぞれ $y_i = 0, b_i$ で力が与えられ、両端辺でのたわみ W 、換算たわみ角 Q_y 、 Q_x の式に代入すればこれらの変形量は境界辺の断面力に関連づけられる。

$$\begin{bmatrix} W^i \\ W^{i+1} \end{bmatrix} = \begin{bmatrix} F_{i+1}^i \\ M_{i+1}^i \end{bmatrix} + \begin{bmatrix} \bar{F}_{i+1}^i \\ M_{i+1}^{i+1} \end{bmatrix} \quad (10)$$

ここで $W^i = [W^i \quad Q_y^i]^T, \quad M^i = [M_x^i \quad M_{xy}^i \quad Q_y^i]^T$

F_{i+1}^i : 板 i の柔性行列, \bar{F}_{i+1}^i : 板 i での荷重項のベクトル

板 i と $i+1$ との変位の連続条件を考慮すれば、接合線における断面力 M^i を未知量とする漸化式が得られる。これらを板全体にわたる式系を構成すれば、バンドストラクス型の連立一次方程式に帰着する。

また、引張り問題についても式(10)と同様の式が得られる。

5. 数値計算例

まず、相対2辺が単純支持された無限板に部外荷重が作用する問題を取り上げる(図3)。なお、図中に示す S は単純支持辺, F は自由辺, これは固定辺を意味する。

図3 部分荷重下の無限板

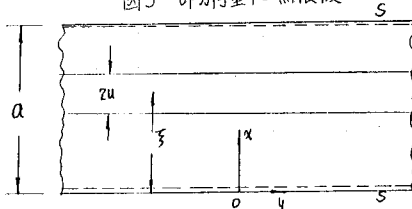


表3 板中央点($x/a=0.5$)でのたわみ($W^0/H/a^4$)

h/a	①	②	③	①+②+③
0.1	0.01059	0.0003	-0.00005	0.01084
0.2	0.01059	0.0012	-0.00018	0.01161

(注)表中の記号は式(6)の各項に対応する。

今、板および荷重の諸元を次のようにしてみる。

$$h/a = 0.1 \sim 0.2, \quad \nu(\text{ボアソン比}) = 0.3$$

$$2u/a = 0.3, \quad z/a = 0.5$$

結果を表3及び4に示す。

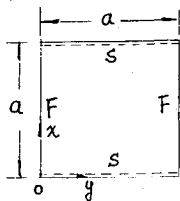
$$\text{ここで } D = \frac{Eh^3}{12(1-\nu)}, \quad H = \frac{Eh}{1-\nu^2}$$

表4 板中央面の水平変位(U^0H/a^3)

h/a	0.0	0.25	0.5
0.1	-0.00643	-0.00536	0.0
0.2	-0.01286	-0.01071	0.0

次に、相対2辺単純支持、残りの辺が自由あるいは固定の正方形板に等分布満載荷重が作用する問題での計算結果を表5および表6に示す。なお、板のボアソン比 $\nu=0.3$ とする。

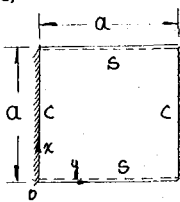
a)



h/a	W_0/q_0^4		M_x/q_0^2		M_y/q_0^2	
	0.0	0.5	0.0	0.5	0.0	0.5
0.0*	0.01509	0.01309	0.1318	0.1225	0.0	0.0271
0.1	0.01557	0.01341	0.1273	0.1220	0.0	0.02583
0.2	0.01678	0.01433	0.1225	0.1211	0.0	0.02440

注) Timoshenko, S.P., Theory of Plates and Shellsによる値

b)

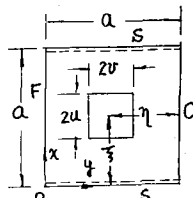


h/a	W_0/q_0^4		M_x/q_0^2		M_y/q_0^2	
	0.0	0.5	0.0	0.5	0.0	0.5
0.0*	0.0	0.00192	—	0.0244	-0.0697	0.0332
0.1	0.0	0.002201	-0.01905	0.02576	-0.06862	0.03359
0.2	0.0	0.002982	-0.01649	0.02893	-0.06228	0.03434

注) Timoshenko, S.P., Theory of Plates and Shellsによる値

以上の結果から、单級数表示による計算方法の妥当性が確かめられたので、式(10)の応力法を用いてより向かの両端辺の境界条件が異なった場合の問題を取上げる。板には部分荷重($2u/a=2v/a=0.2$)が作用し、荷重の中心位置を板の中央奥($x/a=y/a=0.5$)を中心とするものとする。

表7 $x/a=0.5$ で v のたわみ W 、モーメント M_x の比較



h/a	$W(10^{-3} q_0^4/\theta)$			$M_x(10^2 q_0^2)$		
	0.0	0.5	1.0	0.0	0.5	1.0
0.1	0.5674	0.5097	0.0	0.4999	0.8264	-0.2618
0.2	0.6252	0.6316	0.0	0.5035	0.7761	-0.2283

h/a	$M_y(10^{-2} q_0^2)$		
	0.0	0.5	1.0
0.1	0.0	0.7367	-0.8726
0.2	0.0	0.7771	-0.7609

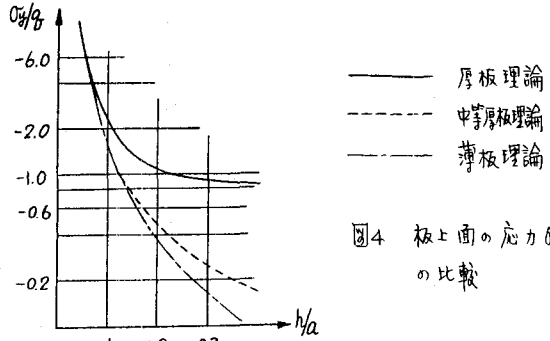


図4 板上面の応力比の比較

次に、局部荷重下の応力について議論する。
全周単純支持された正方形板の中央に部分荷重($2u/a=2v/a=0.1$)が作用する場合の板中央奥($x/a=y/a=0.5$)の上面の応力の比較を図4に示す。

6.まとめ 単級数で表示された解に総和公式を用いれば簡単に代数解が得られる。式(10)で示された応力法を適用すれば、境界条件や荷重状態などのように変化しても解が得られることが分った。また、引張り問題で示された解はこれまでの中等厚板では提示されなかつたものである。

参考文献 1) Salerno, V.L. and Goldberg, M.A., Effect of shear deformations on the bending of rectangular plates, Trans. ASME, Vol. 72, 1960, P.54-58

2) Ambartsumyan, S.A., Theory of Anisotropic Plates, Technomic, 1970.